

# Un algorithme exact pour le problème d'indépendant faiblement connexe de cardinalité minimum.

Djelloul Mameri

Fatiha Bendali

Jean Mailfert

Université Blaise Pascal, Clermont Ferrand. Laboratoire LIMOS, UMR 6158 CNRS.

14èmes Rencontres Francophones sur les Aspects Algorithmiques  
des Télécommunications

29 Mai au 1er Juin 2012, La Grande Motte, Hérault, France.



# Plan

- 1 Introduction
- 2 Structures DS, CDS, WCDS, IS, MIS et *Weakly Connected Independent Set (WCIS)*
- 3 Complexité et approximabilité du *WCIS* minimum
- 4 Algorithme exact pour la recherche du *WCIS* minimum
- 5 Premiers résultats numériques
- 6 Perspectives

# Plan

- 1 Introduction
- 2 Structures DS, CDS, WCDS, IS, MIS et *Weakly Connected Independent Set (WCIS)*
- 3 Complexité et approximabilité du *WCIS* minimum
- 4 Algorithme exact pour la recherche du *WCIS* minimum
- 5 Premiers résultats numériques
- 6 Perspectives

# Plan

- 1 Introduction
- 2 Structures DS, CDS, WCDS, IS, MIS et *Weakly Connected Independent Set (WCIS)*
- 3 Complexité et approximabilité du *WCIS* minimum
- 4 Algorithme exact pour la recherche du *WCIS* minimum
- 5 Premiers résultats numériques
- 6 Perspectives

# Plan

- 1 Introduction
- 2 Structures DS, CDS, WCDS, IS, MIS et *Weakly Connected Independent Set (WCIS)*
- 3 Complexité et approximabilité du *WCIS* minimum
- 4 Algorithme exact pour la recherche du *WCIS* minimum
- 5 Premiers résultats numériques
- 6 Perspectives

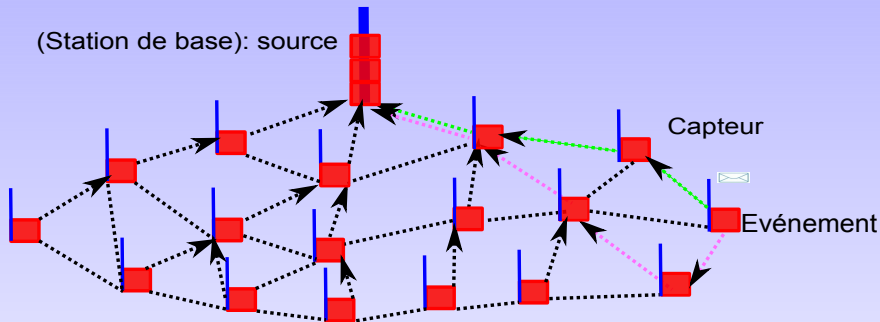
# Plan

- 1 Introduction
- 2 Structures DS, CDS, WCDS, IS, MIS et *Weakly Connected Independent Set (WCIS)*
- 3 Complexité et approximabilité du *WCIS* minimum
- 4 Algorithme exact pour la recherche du *WCIS* minimum
- 5 Premiers résultats numériques
- 6 Perspectives

# Plan

- 1 Introduction
- 2 Structures DS, CDS, WCDS, IS, MIS et *Weakly Connected Independent Set (WCIS)*
- 3 Complexité et approximabilité du *WCIS* minimum
- 4 Algorithme exact pour la recherche du *WCIS* minimum
- 5 Premiers résultats numériques
- 6 Perspectives

# Réseau de capteurs



- Capteurs/traitement de données physiques  $\Rightarrow$  Mémoire et capacité de calcul limitées.
- Transmission sans fil  $\Rightarrow$  Faible portée radio.
- Energie (batterie)  $\Rightarrow$  Energie limitée.

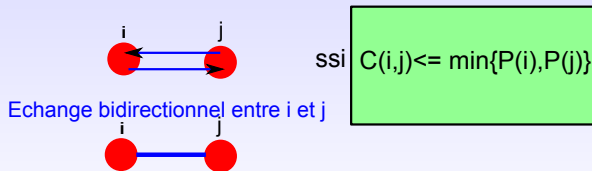
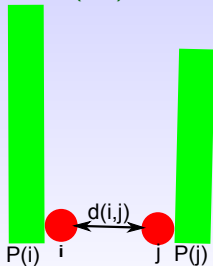


# Modélisation par un graphe communications

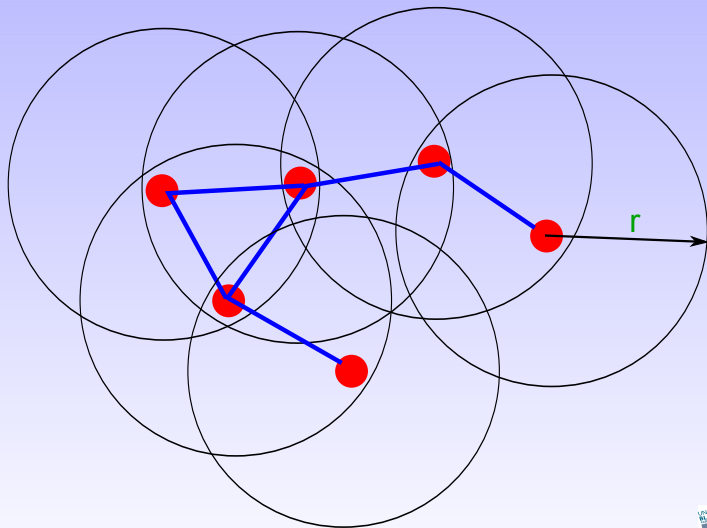
Puissance nécessaire  $C$  pour une transmission d'un nœud  $i$  à un nœud  $j$

$$C(i,j) = \alpha \cdot d(i,j)^\beta + \gamma \quad (1)$$

Où  $d(i,j)$  est la distance entre  $i$  et  $j$ ;  $\alpha > 0$ ;  $\gamma \geq 0$ ;  $\beta \in [2, 5]$ .



# Graphe de communication



$r$  : rayon d'émission des capteurs.

# Plan

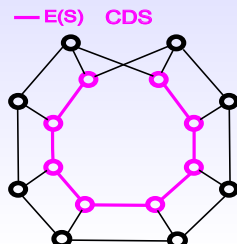
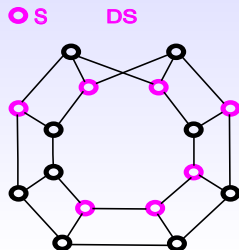
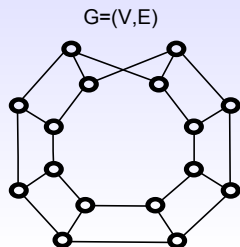
- 1 Introduction
- 2 Structures DS, CDS, WCDS, IS, MIS et *Weakly Connected Independent Set (WCIS)*
- 3 Complexité et approximabilité du *WCIS* minimum
- 4 Algorithme exact pour la recherche du *WCIS* minimum
- 5 Premiers résultats numériques
- 6 Perspectives

# Structures DS et CDS

$G = (V, E)$  connexe ;  $S \subset V$ .

**Définition : Ensemble dominant (DS) et Ensemble dominant connexe (CDS)**

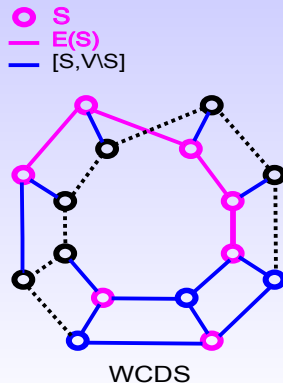
- $S$  est un ensemble *dominant* de  $G$  si  $\forall v \in V \setminus S, \exists u \in S$  tel que  $(u, v) \in E$ .
- Un ensemble *dominant*  $S$  de  $G$  est connexe si le graphe  $G_S = (S, E(S))$  est connexe.



# Structure WCDS

## Définition : Ensemble dominant *faiblement connexe* (WCDS)

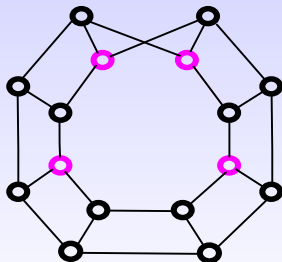
- Un ensemble *dominant*  $S$  de  $G$  est *faiblement connexe* si le graphe  $G_S = (V, E(S) \cup [S, V \setminus S])$  est connexe.



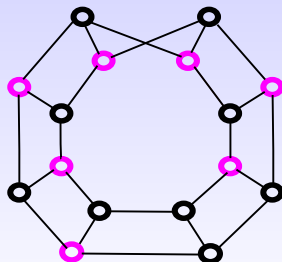
# Structures IS et MIS

## Définition : Indépendant (IS) et indépendant maximal (MIS)

- 1  $S$  est un *indépendant* ou *stable* de  $G$  si aucune arête de  $E$  ne relie deux sommets de  $S$ .
- 2 Un *indépendant*  $S$  de  $G$  est *maximal* si aucun indépendant de  $G$  ne le contient strictement.



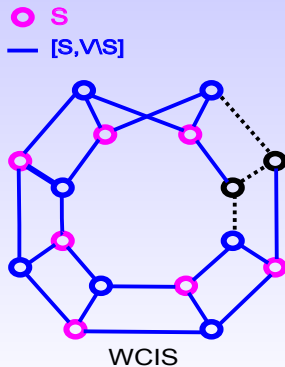
IS



MIS

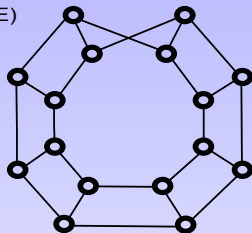
## Définition : Indépendant faiblement connexe (*WCIS*)

- Un indépendant  $S$  de  $G$  est faiblement connexe si le graphe  $G_S = (V, [S, V \setminus S])$  est connexe.

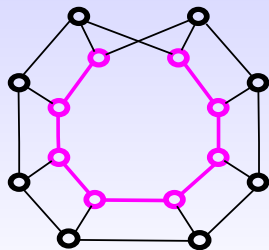


# Illustration des structures

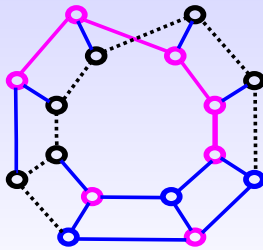
$G=(V,E)$



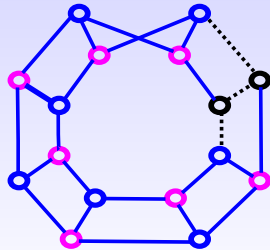
○ S  
— E(S)  
— [S,VS]



CDS



WCDS

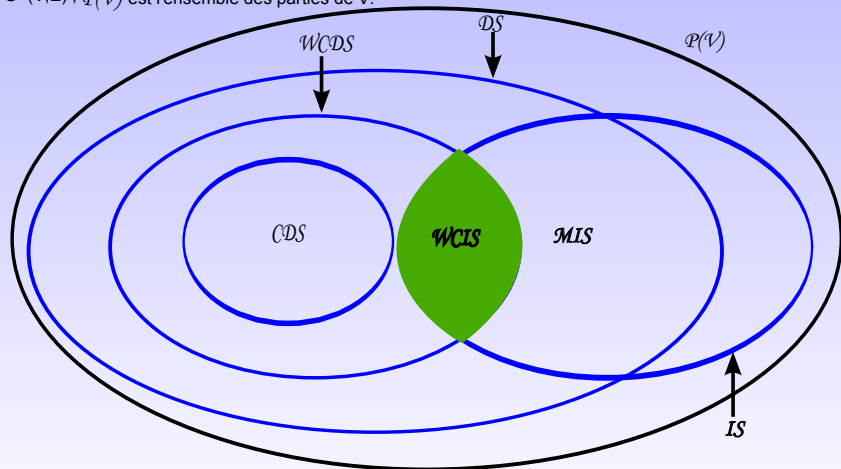


WCIS



# Comparaison ensembliste

$G=(V,E)$  ;  $\mathcal{P}(V)$  est l'ensemble des parties de  $V$ .



# Motivations pour la structure *WCIS*

- 1 Les problèmes de décision associés au *MIS*, *CDS* et *WCDS* sont NP-Complets.
- 2 *WCIS* intermédiaire pour la recherche de *MCDS* et *MWCDS* [1].
- 3 Résultat négatif pour l'approximation de *MMIS* [2] :  
 $\nexists \epsilon : |A(G)| \leq n^{1-\epsilon} |MMIS(G)|.$

[1] : Li. Yingshu, M.T Thai, W. Feng, C.W. Yi, P.J Wan and D.Z. Du.  
*Wireless Communications and mobile computing*, 2005.

[2] : Magnús M. Halldórsson. *Information Processing Letters*, 1993.

# Problème de décision *WCISD*

Problème : (*WCISD*)

*Instance* :  $G = (V, E)$  un graphe non orienté connexe et  $k$  un entier ;

*Question* :  $G$  contient-il un *WCIS* de taille au plus  $k$  ?

## Théorème de complexité

*WCISD* est NP-Complet.

## Théorème d'inapproximabilité

Il n'existe pas d'algorithme d'approximation polynomial  $A$  pour le problème du *WCIS* de cardinalité minimum tel que :

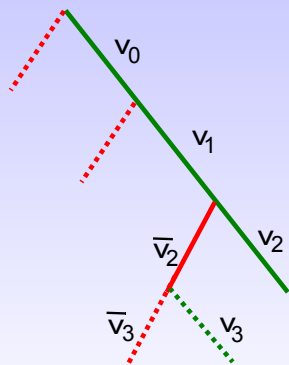
$$|A(G)| \leq |V|^{1-\epsilon} |MWCIS(G)|, \quad 0 < \epsilon < 1.$$

# Complexité de *WCISD* dans des classes de graphes particulières

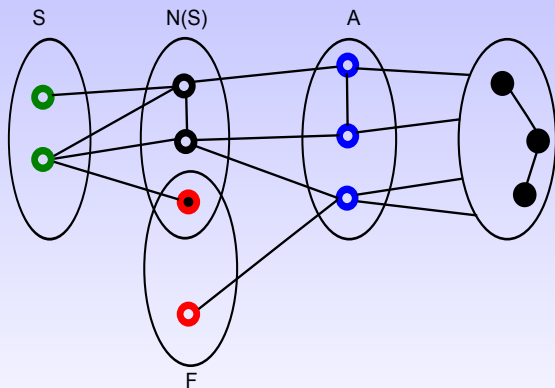
| Classe de graphes       | DSD                   | MISD                  | <i>WCISD</i>          |
|-------------------------|-----------------------|-----------------------|-----------------------|
| co-graphes              | P                     | P                     | P                     |
| Arbres                  | P                     | P                     | P                     |
| <i>Graphe biparti</i>   | <i>NP<sub>c</sub></i> | <i>NP<sub>c</sub></i> | P                     |
| Graphe de comparabilité | NP <sub>c</sub>       | NP <sub>c</sub>       | <i>NP<sub>c</sub></i> |
| Split graphe            | NP <sub>c</sub>       | P                     | P                     |

# Algorithme d'énumération des *WCIS* de cardinalité minimum

Soit  $S \subset V$  le *WCIS* partiel.



Arbre binaire



Variables principales de l'algorithme

# Les cas de stérilisation dans l'arbre binaire

- (1) Un *WCIS* de cardinalité minimum est obtenu.
- (2) La cardinalité de l'ensemble indépendant courant dépasse celle du plus petit *WCIS* obtenu jusque là.
- (3) La propriété de dominance n'est plus assurée.

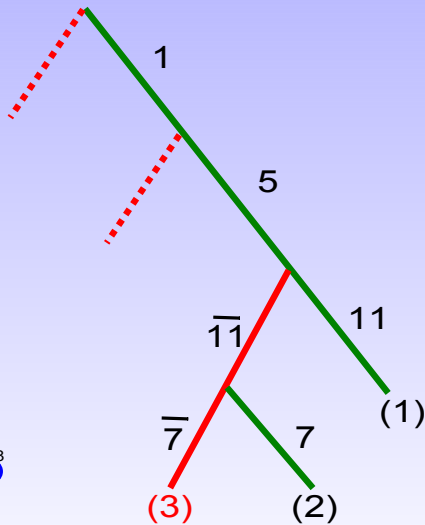
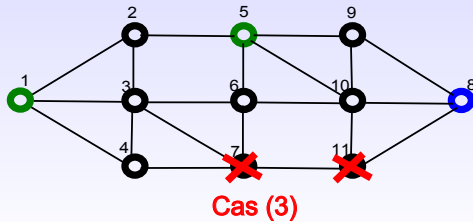
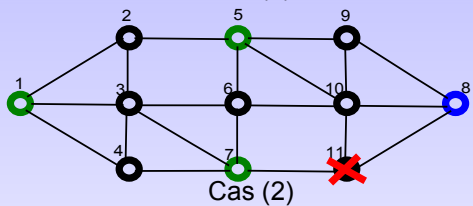
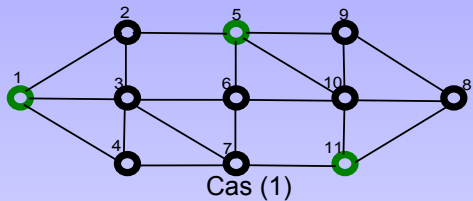
# Les cas de stérilisation dans l'arbre binaire

- (1) Un *WCIS* de cardinalité minimum est obtenu.
- (2) La cardinalité de l'ensemble indépendant courant dépasse celle du plus petit *WCIS* obtenu jusque là.
- (3) La propriété de dominance n'est plus assurée.

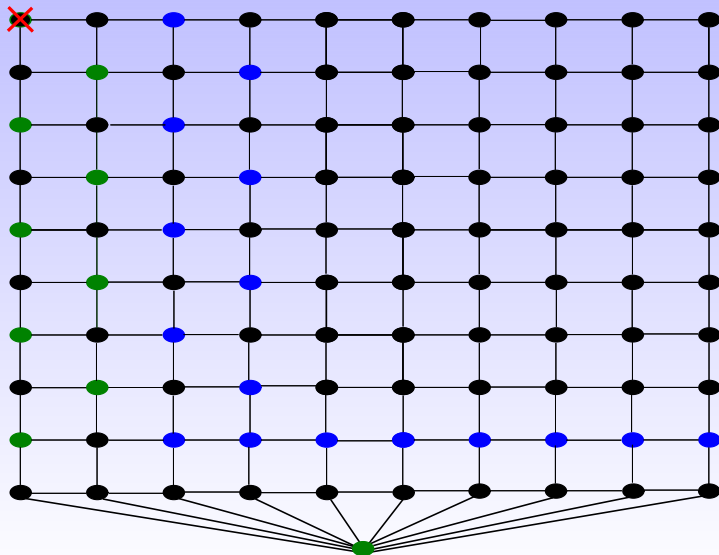
# Les cas de stérilisation dans l'arbre binaire

- (1) Un *WCIS* de cardinalité minimum est obtenu.
- (2) La cardinalité de l'ensemble indépendant courant dépasse celle du plus petit *WCIS* obtenu jusque là.
- (3) La propriété de dominance n'est plus assurée.





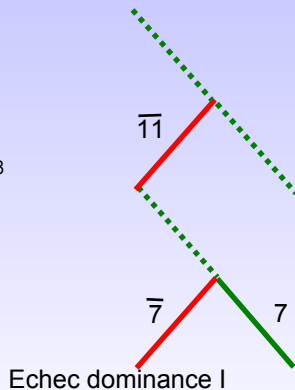
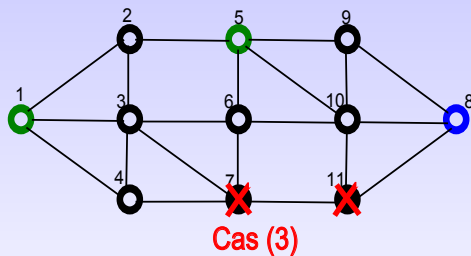
# Intérêt de la procédure échec dominance



# Situation échec dominance

## Échec dominance de type I

①  $\exists v_0 \in F$  tel que  $N(v_0) \subset N(S) \cup F$ .



$S = \{1, 5\}$ ,  $N(S) = \{2, 3, 4, 6, 9, 10\}$ ,  $F = \{7, 11\}$ .

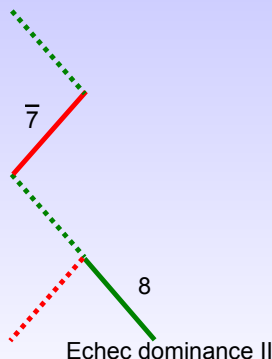
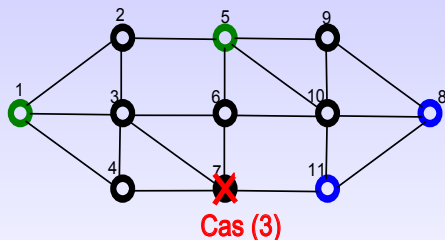
$v_0 = 7$ ,  $N(v_0) = \{3, 4, 6, 11\} \subset N(S) \cup F$ .

# Situation échec dominance

Notations :  $\overline{N^2}(v) = N^2(v) \setminus (S \cup N(S))$ .

## Échec dominance de type II

- 1  $\exists v \in \overline{N^2}(v_0) \cap F$  tel que  $N(v) \subset N(S) \cup F \cup N(v_0)$ .



$v_0 = 8$ ,  $S = \{1, 5\}$ ,  $N(S) = \{2, 3, 4, 6, 9, 10\}$ ,  $F = \{7\}$ ,  
 $N(v_0) = \{9, 10, 11\}$ .  $v = 7$ ,  $N(7) = \{3, 4, 6, 11\} \subset N(S) \cup F \cup N(v_0)$ .

# Schéma de l'algorithme exact

**Require:**  $G = (V, E)$  un graphe non orienté connexe.

**Ensure:**  $S^* = \{S^* \subset V : S^* \text{ est un } MWCIS(G)\}$ .

Soit  $v_{min}$  le sommet de plus petit degré,  $v_0 \leftarrow v_{min}$ , stop  $\leftarrow$  false ;

**for**  $iv_0 = 1$  to  $|N[v_{min}]|$  **do**

Initialiser les variables de l'algorithme :  $S$ ,  $F$  et  $A$ .

**while** not stop **do**

**Etape 1 :**

**Empiler**  $v_0$  et mettre à jour les variables  $S$ ,  $F$  et  $A$  ;

**Si** échec dominance II alors **Interdire**  $v_0$ , aller à l'**Etape 2** ;

**Si**  $WCIS$  alors enregistrer si meilleur, **Interdire**  $v_0$ , **Etape 2** ;

**Si** taille dépassée alors **Interdire**  $v_0$ , aller à l'**Etape 2** ;

**Etape 2 :**

**Si** On trouve un nouveau candidat  $v_0$ , alors aller à l'**Etape 1** ;

**Retour en arrière** (interdire le dernier sommet, échec I) ;

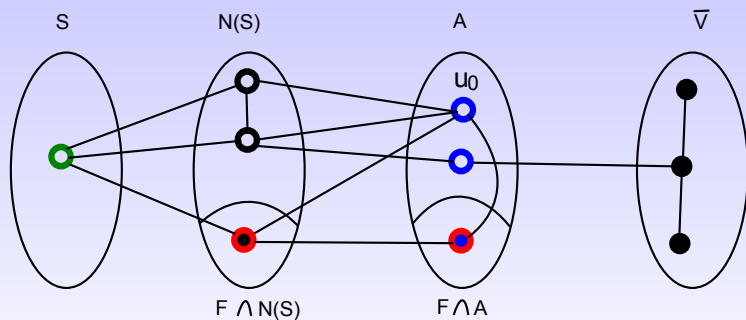
**Si** la pile est non vide alors **Etape 2** **Sinon** stop  $\leftarrow$  true ;

**end while**

**end for**

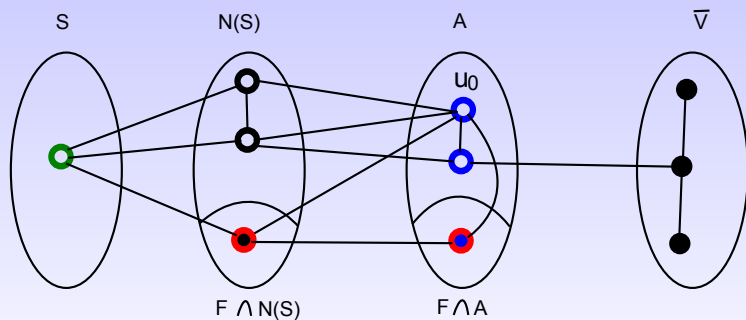
# Analyse de l'algorithme exact

(1)  $|N(u_0) \setminus S \cup N(S) \cup F| = 0 \implies T(p) \leq T(p-1)$ .



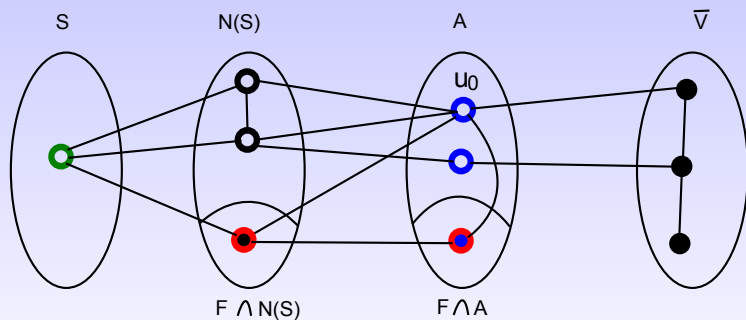
# Analyse de l'algorithme exact

$$(2) |N(u_0) \setminus S \cup N(S) \cup F| = 1 \implies T(p) \leq T(p-2) + T(p-2).$$



# Analyse de l'algorithme exact

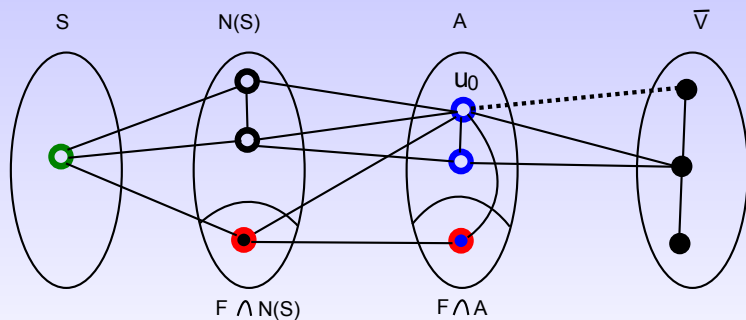
$$(2) |N(u_0) \setminus S \cup N(S) \cup F| = 1 \implies T(p) \leq T(p-2) + T(p-2).$$





# Analyse de l'algorithme exact

(3)  $|N(u_0) \setminus S \cup N(S) \cup F| \geq 2 \implies T(p) \leq T(p-3) + T(p-1)$ .



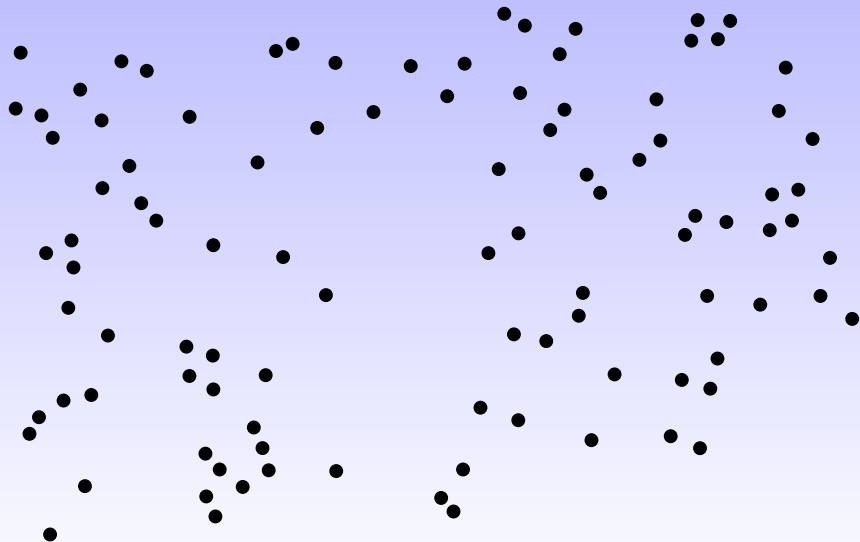
# Analyse de l'algorithme exact

$$|N(u_0) \setminus S \cup N(S) \cup F| \geq 2 \implies T(p) \leq T(p-3) + T(p-1).$$

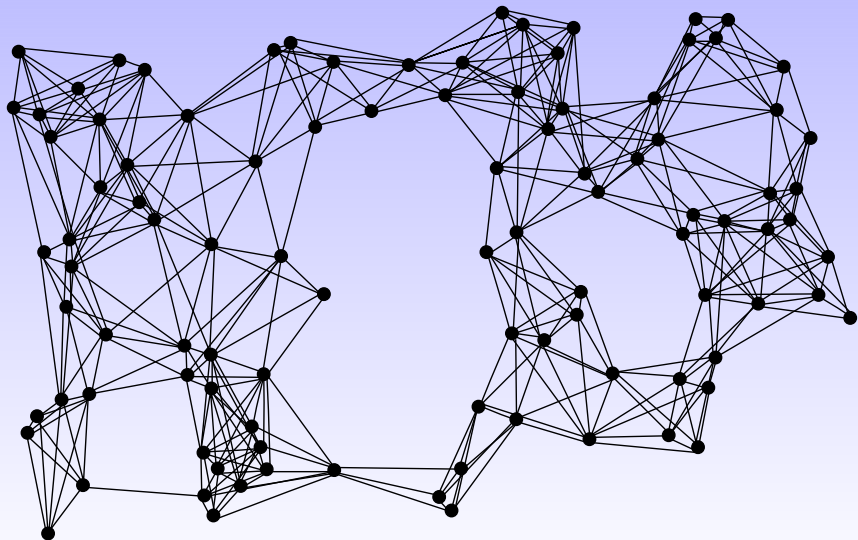
## Théorème de complexité

- La complexité temporelle de l'algorithme exact est de  $O^*(1.4656^n)$ .
- La complexité spatiale est de  $O(n^2)$ .

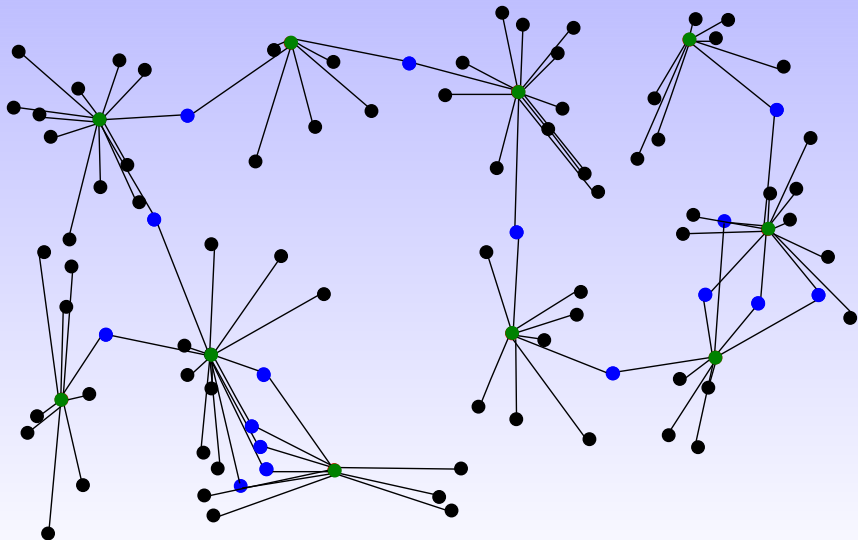
# Premiers résultats numériques



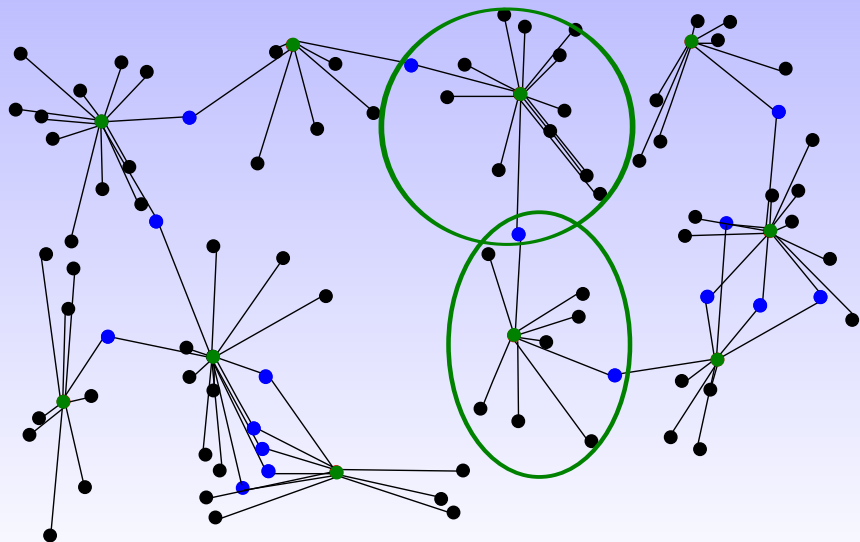
# Premiers résultats numériques



# Premiers résultats numériques

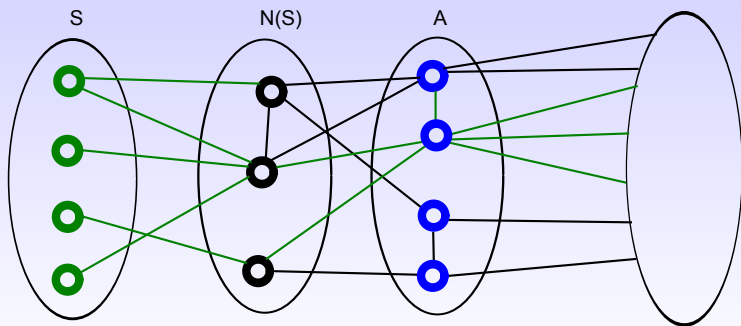


# Premiers résultats numériques



# Heuristique pour le problème du *WCIS* minimum

- Entrée :  $G=(V,E)$ .
- Sorties :  $G_{glo} = (V, [S, V \setminus S]), S = A_{glo}(G)$ .



# Premiers résultats numériques

| Instances | $ V $ | $Opt$ | $\#Opt$ | $CPU(s)$ | $\frac{Opt_1}{Nd}$ | $A_{120s}$ | $H$ | $H_{120s}$ |
|-----------|-------|-------|---------|----------|--------------------|------------|-----|------------|
| kroA100   | 100   | 11    | 76596   | 748      | 16%                | 12         | 13  | 12         |
| kroB100   | 100   | 11    | 1954    | 624      | 37%                | 12         | 16  | 12         |
| kroC100   | 100   | 10    | 60      | 934      | 87%                | 11         | 13  | 12         |
| kroD100   | 100   | 11    | 21074   | 838      | 2%                 | 11         | 15  | 12         |
| kroE100   | 100   | 11    | 14070   | 1040     | 91%                | 12         | 14  | 12         |
| eil101    | 101   | 12    | 8       | 1871     | 65%                | 13         | 16  | 15         |
| ch130     | 130   | 12    | 154670  | 21695    | 85%                | 13         | 15  | 14         |

**Table:** Résultats numériques de l'algorithme exact et l'heuristique sur des instances de la TSPLIB.



# Premiers résultats numériques

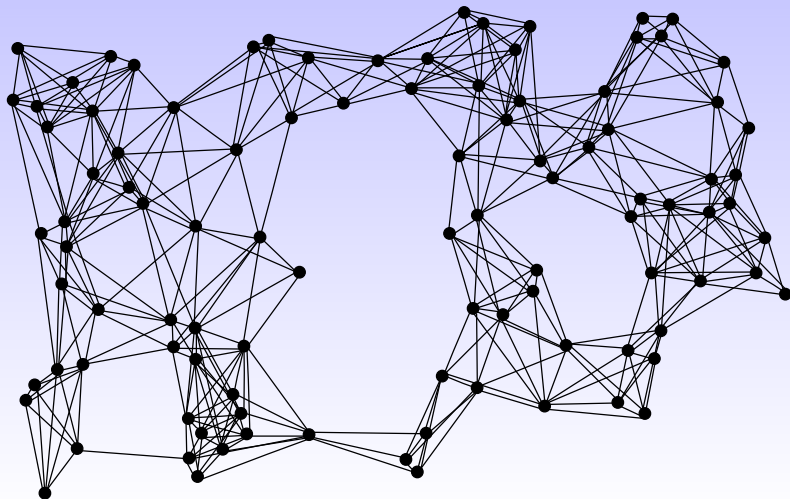
| Graphes   | $ V $ | $Opt$ | $CPU(s)$ | $A_{120s}$ | H     | $H_{120s}$ |
|-----------|-------|-------|----------|------------|-------|------------|
| Random40  | 40    | 7     | 0        | -          | 8     | 7.5        |
| Random50  | 50    | 11    | 0.26     | -          | 12.66 | 11.66      |
| Random60  | 60    | 11.4  | 1.62     | -          | 13.4  | 11.6       |
| Random70  | 70    | 10.75 | 5.42     | -          | 12    | 11.25      |
| Random80  | 80    | 10.66 | 38.79    | -          | 13.88 | 11.55      |
| Random90  | 90    | 10.5  | 200.45   | -          | 13.62 | 11.75      |
| Random100 | 100   | 11.33 | 884.33   | 12.1       | 14.4  | 12.5       |
| Random110 | 110   | 10.88 | 2211     | 12.1       | 13.88 | 12.44      |

**Table:** Résultats numériques de l'algorithme exact et l'heuristique sur des instances aléatoires.

# PERSPECTIVES

## (1) Décomposition de graphes :

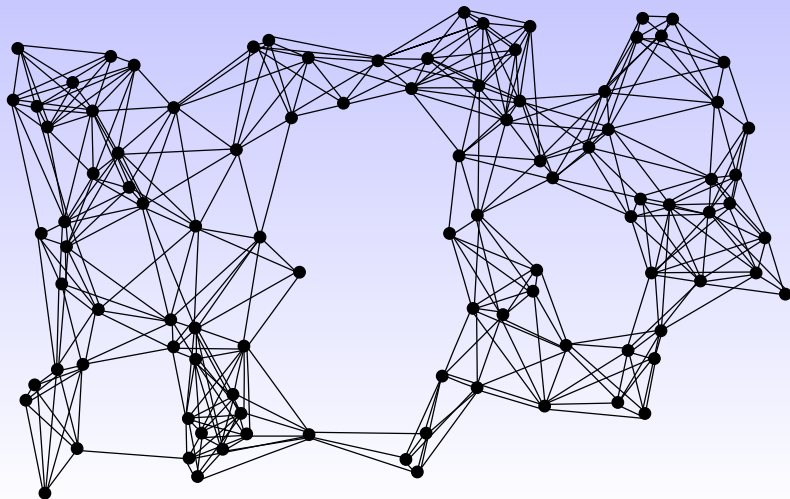
- Décomposition modulaire (vrais jumeaux, cliques).



# PERSPECTIVES

## (1) Décomposition de graphes :

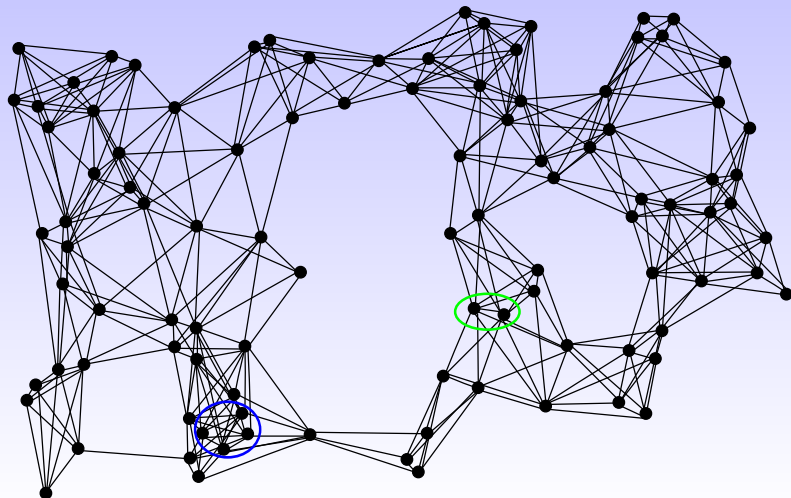
- Décomposition modulaire (vrais jumeaux, cliques).



# PERSPECTIVES

## (1) Décomposition de graphes :

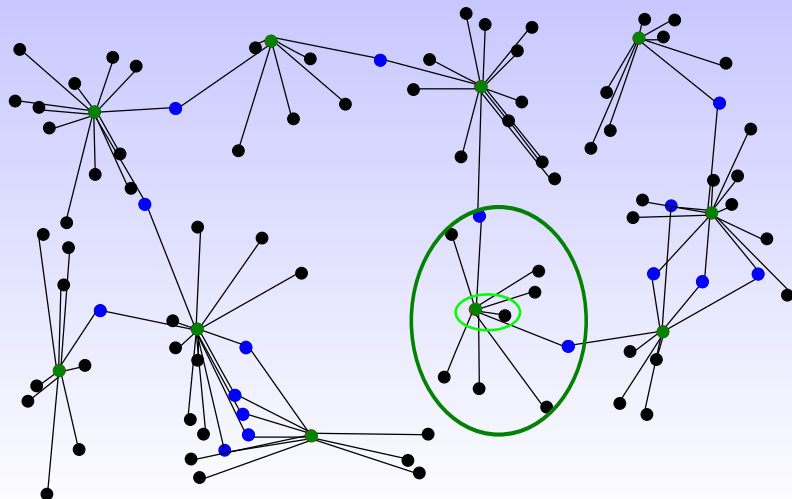
- Décomposition modulaire (vrais jumeaux, cliques).



# PERSPECTIVES

## (1) Décomposition de graphes :

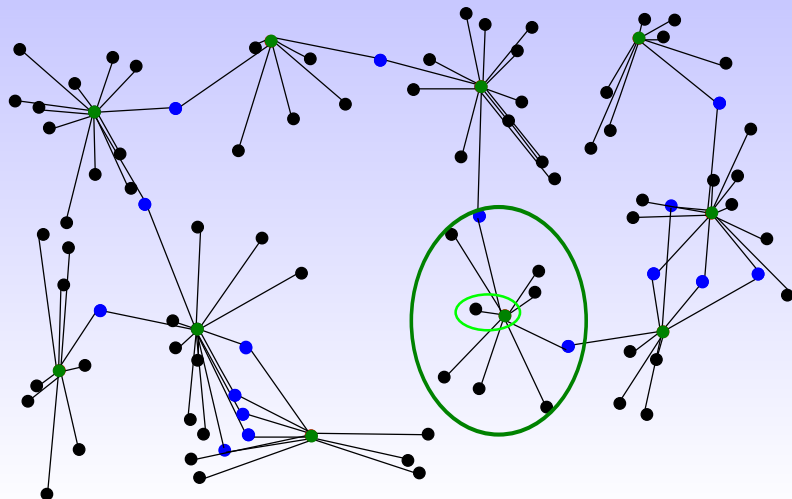
- Décomposition modulaire (vrais jumeaux, cliques).



# PERSPECTIVES

## (1) Décomposition de graphes :

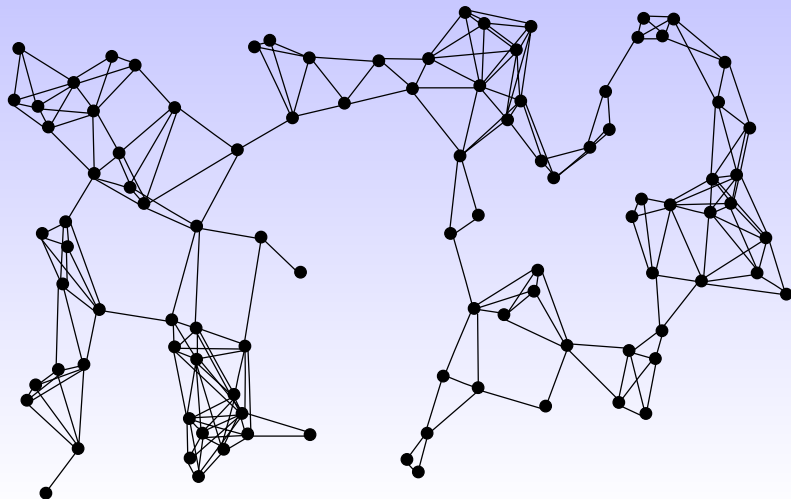
- Décomposition modulaire (vrais jumeaux, cliques).



# PERSPECTIVES

## (1) Décomposition de graphes :

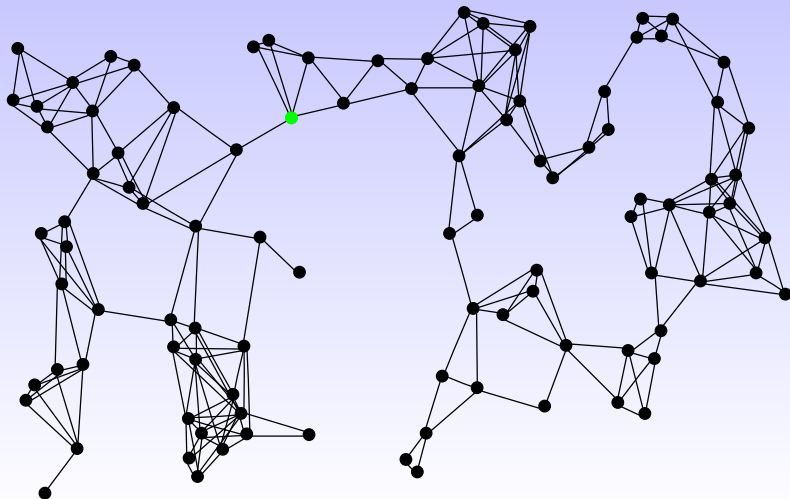
- Décomposition en coupes (point d'articulation).



# PERSPECTIVES

## (1) Décomposition de graphes :

- Décomposition en coupes (**point d'articulation**).

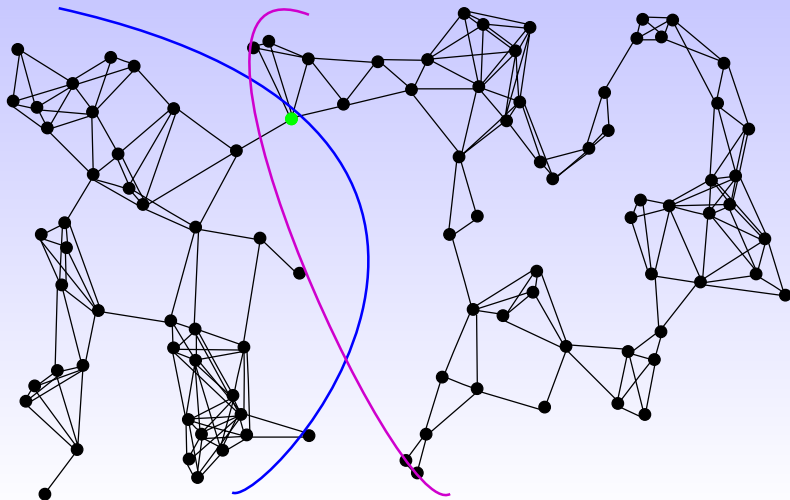




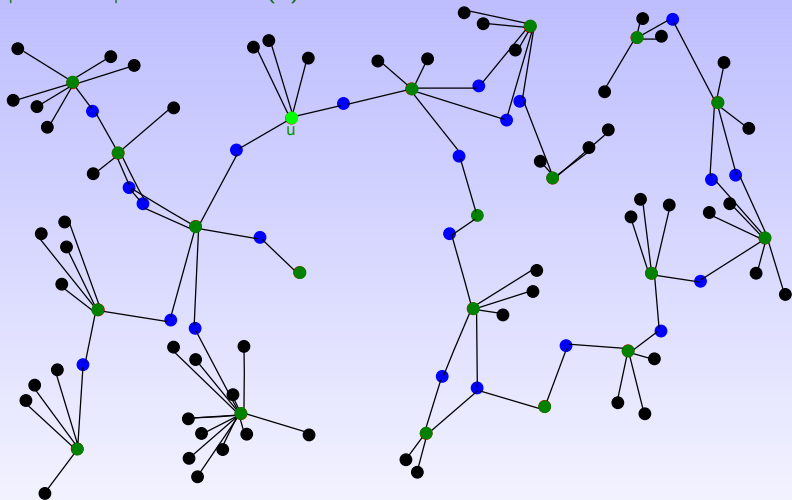
# PERSPECTIVES

## (1) Décomposition de graphes :

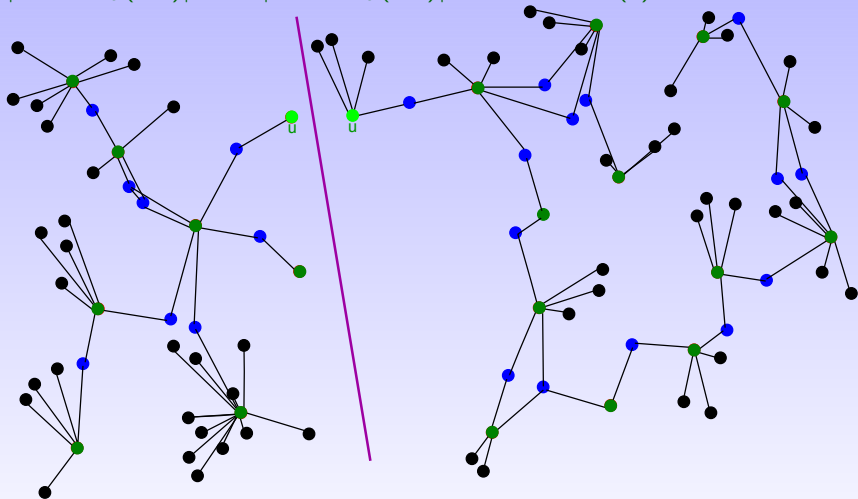
- Décomposition en coupes (point d'articulation).



$|MWCIS| = 20$ ,  $CPU(s) = 2153$ .



$|MWCIS_u(G1)| = 8$ ,  $|MWCIS_u(G2)| = 13$  et  $CPU(s) = 2.2$ .



(2) Étude polyédrale pour le problème du *MWCIS*.

MERCI POUR VOTRE ATTENTION

# PERSPECTIVES

$$\min \sum_{u \in V} x(u)$$

$$x(u) + x(v) \leq 1, \forall (u, v) \in E \quad (2)$$

$$\sum_{u \in \Gamma(W)} x(u) \geq 1, \forall W \subsetneq V \quad (3)$$

$$x(u) \geq 0, \forall u \in V \quad (4)$$

$$x(u) \in \{0, 1\}, \forall u \in V \quad (5)$$

